

خمش غیرخطی تیرهای کامپوزیتی تقویت شده با پلاکت‌های گرافن با استفاده از روش مربعات دیفرانسیلی هارمونیک*

مقاله پژوهشی

حسن شکراللهی^(۱)رضا بیگ پور^(۲)

چکیده در این پژوهش تجزیه و تحلیل خمش غیرخطی یک تیر کامپوزیتی تقویت شده توسط پلاکت‌های گرافن با توزیع غیریک‌نواخت در راستای ضخامت، بررسی و ارائه شده است. معادلات دیفرانسیل غیرخطی حاکم در این پژوهش براساس نظریه تغییر شکل برشی مرتبه اول و اصل حداقل انرژی پتانسیل، استخراج شده و با استفاده از روش مربعات دیفرانسیلی هارمونیک حل شده است. خواص مکانیکی و مدول الاستیک مؤثر کامپوزیت تقویت شده با پلاکت‌های گرافن با استفاده از مدل میکرومکانیکی هالپین-تسای اصلاح شده محاسبه شده است. همچنین از قاعده اختلاط برای تعیین نسبت پواسون مؤثر استفاده شده است. ابتدا مطالعات مقایسه‌ای بین تیرهای استاندارد کامپوزیتی مدرج تابعی و تیرهای تقویت شده با پلاکت‌های گرافن، ارائه شده است و سپس اثرات شرایط مرزی، کسر وزنی و الگوی توزیع پلاکت‌های گرافن و تعداد کل لایه‌ها بر ویژگی‌های خمش غیرخطی تیرهای کامپوزیتی مورد مطالعه قرار گرفته است. نتایج این پژوهش نشان‌دهنده قابلیت بالای روش پیشنهادی برای حل مسائل غیرخطی و به دست آوردن رفتار خمشی تیرهای کامپوزیتی تقویت شده، می‌باشد. همچنین مطالعات پارامتری نشان می‌دهد با افزایش کسر وزنی پلاکت‌های گرافن، استحکام خمشی تیر بهبود یافته و خیز تیر کاهش می‌یابد. علاوه بر این، افزایش تعداد کل لایه‌های کامپوزیت تقویت شده با پلاکت‌های گرافن، سبب می‌شود که توزیع تنش در راستای ضخامت تیر هموارتر شود.

واژه‌های کلیدی تحلیل غیرخطی تیر، خمش، کامپوزیت، پلاکت‌های گرافن، مربعات دیفرانسیلی هارمونیک.

مقدمه

در علوم مهندسی تقویت‌کننده‌ها یکی از مهم‌ترین عوامل ایجاد استحکام و سفتی در تیرهای کامپوزیتی به‌شمار می‌روند. با پیشرفت علم نانو، پرکننده جدیدی به نام پلاکت‌های گرافن برای تقویت کامپوزیت‌ها معرفی شد، این پلاکت‌ها خواص مکانیکی، حرارتی، الکتریکی و نوری فوق‌العاده‌ای دارند [1-3]. علاوه بر این، گرافن‌ها متقاضیان زیادی را برای طراحی و پیشرفت کاربردهای مختلف سیستم‌های نانوالکترومکانیکی، مانند نانوکامپوزیت‌ها، حسگرهای جرم و گاز، ترانزیستورها و دستگاه‌های نیمه‌هادی به خود جذب کرده‌اند [4-6]. انواع مختلفی از محصولات گرافن، مانند پلاکت‌های گرافن

(Graphene Nanoplatelets) و اکسید گرافن، به‌طور گسترده در اجزای ساختاری سازه‌های کامپوزیتی استفاده می‌شود. همان‌طور که در کارهای تجربی و نظری نشان داده شده است، از آنجایی که گرافن دارای سطح وسیعی برای پیوند با زنجیره‌های پلیمری است، پلاکت‌های گرافن به‌عنوان نانوپرکننده‌های تقویت‌کننده در ماتریس پلیمری تعامل قوی‌تری نسبت به نانولوله کربنی دارند [7]. پلیمرها به‌دلیل انعطاف‌پذیری مناسب و خواص فیزیکی مطلوب به‌عنوان ماتریس‌های الاستومری برای استفاده در سازه‌های کامپوزیتی بسیار مورد توجه قرار گرفته‌اند [8-10]. در مطالعات مختلفی نشان داده شده است که مقدار کمی گرافن می‌تواند رفتار خمشی

* تاریخ دریافت مقاله ۱۴۰۰/۱۱/۱۵ و تاریخ پذیرش آن ۱۴۰۰/۱۲/۲۵ می‌باشد.

(۱) نویسنده مسئول، استادیار، گروه مهندسی مکانیک، دانشکده فنی و مهندسی، دانشگاه خوارزمی، تهران. Email: hshokrollahi@khu.ac.ir

(۲) کارشناس ارشد، گروه مهندسی مکانیک، دانشکده فنی و مهندسی، دانشگاه خوارزمی، تهران.

انتهایی کماتش را به میزان قابل توجهی کاهش و انواع بارهای بحرانی کماتش را افزایش دهد. با بررسی پوسته‌های استوانه‌ای با الگوهای متقارن و غیریک‌نواخت پلاکت‌های گرافن، توزیع متخلخل بهترین تأثیر تقویت‌کننده را بر سفتی کامپوزیت از خود نشان داد. براتی و شاهوردی [18] یک المان شبیه‌سازی عددی تیر مرتبه بالا را برای تجزیه و تحلیل ارتعاشات اجباری یک تیر نانوکامپوزیت تقویت شده با پلاکت‌های گرافن در محیط‌های حرارتی مورد بررسی قرار دادند. نتایج این بررسی نشان داد که خیز دینامیکی تیر به‌طور قابل توجهی تحت تأثیر کسر وزنی، نوع توزیع پلاکت‌ها گرافن، تغییر دما، بستر الاستیک و فرکانس تحریک بار دینامیکی اعمال شده می‌باشد. عارفی و همکاران [19] تأثیر پارامترهای متعددی مانند درصد کسر وزنی و تعداد لایه‌ها را بر تجزیه و تحلیل خمش غیرمحلی نانوتیرهای تقویت شده توسط پلاکت‌های گرافن ارائه کردند. تعداد کل لایه‌ها و هندسه نانوپلاکت‌ها به‌طور قابل توجهی بر نتایج تأثیر می‌گذارد. به‌طور خاص، نانوپلاکت‌ها با طول بیشتر منجر به تیرهایی با ساختارهای سفت‌تر با کاهش کلی میدان جابه‌جایی می‌شوند.

ضیایی [20] در مطالعه‌ای ارتعاش آزاد ساختارهای چندلایه گرافن و نیتريد بور در محیط گرمایی و اثرات پارامتر مقیاس طول و تغییر دما بر فرکانس‌های طبیعی را مورد بررسی قرار داد. بدین منظور، نیروی واندروالس بین صفحات کامپوزیت را با استفاده از معادله لنارد-جونز مدل‌سازی کرد و از نظریه ورق اصلاح شده دو متغیره برای مدل‌سازی خواص ارتعاشی صفحات مرکب تک‌لایه گرافن/برن نیتريد یا صفحات مرکب با چیدمان عمودی استفاده کرد. نتایج این بررسی نشان داد که طرح لایه‌های گرافن و نیتريد بور تنها بر فرکانس نرمال خارج از فاز نانوصفحات چندلایه تأثیر می‌گذارد و افزایش تعداد لایه‌های نیتريد بور مورد استفاده در ساختار ناهمگن، سبب کاهش فرکانس طبیعی ساختار ترکیبی می‌شود. ورزندیان و همکاران [21] رفتار ارتعاش بعد از

تیر کامپوزیت اپوکسی گرافن را بهبود بخشید [11,12]. به‌علاوه، از آن‌جا که ساخت یک سازه با یک ماده مدرج تابعی (Functionally graded material) که در آن مقدار پلاکت گرافن به‌طور پیوسته در راستای ضخامت تغییر می‌کند، بسیار دشوار است، از یک چیدمان چندلایه برای ساخت این سازه استفاده می‌شود. در این حالت، هر لایه دارای کسر وزن ثابتی است و توزیع مناسبی در راستای ضخامت لایه‌ها در نظر گرفته می‌شود [13,14]. ساختارهای نانوکامپوزیتی توسط بسیاری از محققان برای توصیف خواص و رفتار آن‌ها تحت بارهای استاتیکی و دینامیکی مورد مطالعه قرار گرفته‌اند. بیدگلی و عارفی [15] فرمول‌بندی را برای تجزیه و تحلیل ارتعاشات میکروصفحات کامپوزیت پلیمری مدرج تابعی و تقویت شده با نانوپلاکت‌های گرافن ارائه کردند. آن‌ها وابستگی اندازه میکروصفحات درجه‌بندی شده را با در نظر گرفتن نظریه گرادیان کرنش مورد بررسی قرار دادند. نتایج عددی از نظر توزیع‌های مختلف نانوپلاکت‌های گرافن نشان داد که حداکثر سفتی برای توزیع سهمی و حداقل سفتی برای توزیع خطی پلاکت‌ها به دست می‌آید. یانگ و همکاران [16] تأثیر نانوذرات پلاکت گرافن بر واکنش‌های مکانیکی و دینامیکی ساختارهای تقویت شده مدرج تابعی را مورد مطالعه قرار دادند. تصاویر میکروسکوپ الکترونیکی از سطوح شکست ماتریس اپوکسی نشان داد که نانوپرکننده‌های ترکیبی نانولوله‌های کربنی چند جداره/پلاکت‌های گرافن نسبت به نانولوله‌های کربنی چند جداره و پلاکت‌های گرافن چندتایی انحلال‌پذیری بالاتری را نشان می‌دهند و سبب افزایش مقاومت کششی سازه می‌شوند. دانگ و همکاران [17] کماتش پوسته‌های استوانه‌ای نانوکامپوزیت متخلخل تقویت شده با گرافن طبقه‌بندی شده تابعی را با حرکت چرخشی با استفاده از روش گالرکین مورد مطالعه قرار دادند. نتایج عددی آن‌ها نشان داد که افزودن مقدار کمی نانوپرکننده پلاکت گرافن می‌تواند تغییر شکل قبل از کماتش و عرض ناحیه

ضخامت است. معادلات دیفرانسیل حاکم بر اساس نظریه تغییر شکل برشی مرتبه اول و با استفاده از اصل حداقل انرژی پتانسیل استخراج شده است و سپس با استفاده از روش مربعات دیفرانسیلی هارمونیک (Harmonic differential quadrature method (HDQM) حل شده است. همان طور که در مرور مراجع گذشته اشاره شد، در کارهای غیرخطی، عمدتاً از روش های عددی دیگر (روش ریتز، المان محدود و...) استفاده شده است که از این جنبه، پژوهش حاضر نسبت به کارهای گذشته متمایز است. مدل میکرومکانیکی هالپین-تسای (Halpin-Tsai model) اصلاح شده برای تعیین مدول مؤثر یانگ تیر کامپوزیت تقویت شده با پلاکت های گرافن اعمال شده است. علاوه بر این، قانون اختلاط (Rule of mixture) برای تعریف نسبت پواسون مؤثر مورد استفاده قرار گرفته است. برای اطمینان از کاربرد این روش، مطالعات مقایسه ای برای تیرهای مدرج تابعی معمولی و تیرهای تقویت شده توسط پلاکت های گرافن، انجام گرفته و سپس اثرات شرایط مرزی، تعداد لایه ها، کسر وزنی و الگوی توزیع پلاکت های گرافن بر ویژگی های خمشی غیرخطی تیر کامپوزیت تقویت شده با پلاکت های گرافن، مطالعه شده است.

فرمول بندی مسئله

فرمول بندی این مسئله شامل تیر کامپوزیت با n لایه پلاکت گرافن با ضخامت کل h و طول L می باشد که در شکل (۱) نمایش داده شده است. هر لایه این تیر شامل ماتریس پلیمری تقویت شده توسط پلاکت های گرافن با ضخامت ثابت $h_i = h/n$ و کسر وزنی متمایز ($Wg\%$) می باشد. در راستای ضخامت تیر، توزیع لایه های گرافن ممکن است به صورت یک نواخت و یا به صورت مدرج تابعی باشد. در این مطالعه الگوهای توزیع پلاکت های گرافن در نظر گرفته شده در شکل (۱) نشان داده شده است. در نوع توزیع X-GPLRC، لایه های بالا و پایین تیر دارای بیشترین کسر جرمی است در حالی که

کمانش یک نانوصفحه گرافن دولایه تحت بار حرارتی را مورد بررسی و مطالعه قرار دادند. نانوصفحه گرافن به صورت یک صفحه اورتوتروپیک غیرکلاسیک با اثر مقیاس کوچک مدل سازی شده است. برای فرمول بندی این مطالعه از تئوری ورق کیرشهف و فرضیات غیرخطی فون کارمن و تئوری الاستیسیته غیرمحللی ایرینگن به ترتیب برای روابط کرنش-جابجایی و اعمال اثر اندازه استفاده شده است. نتایج این مطالعه نشان داد که پارامتر مقیاس و تغییر دما تأثیر به سزایی در رفتار ارتعاش غیرخطی نانوساختارهای کمانش کرده دارند. بهرامی و همکاران [22] اثر هم افزایی دو نانوذره اکسید گرافن کاهش یافته و نانولوله کربنی چندجداره با درصد وزنی ها متفاوت بر روی خواص مکانیکی نانوکامپوزیت اپوکسی با روش مخلوط سازی مستقیم، را مورد بررسی و مطالعه قرار دادند. در این مطالعه با آنالیز توزیع نانوذرات و نوع شکست، آنالیز سطح شکست نمونه ها، مشاهده شد با افزایش نسبت اختلاط نانوپرکننده ها مدول یانگ، تنش نهایی و تنش تسلیم به صورت چشم گیری افزایش یافته است.

باتوجه به ماهیت غیرخطی پدیده های فیزیکی، مدل سازی ریاضی این پدیده ها به معادلات غیرخطی منتهی می شود. بنابراین، باید این معادلات با استفاده از روش های عددی مناسبی حل شوند. مطالعات پیشین تنها به بررسی خمشی غیرخطی تیرهای تقویت شده با پلاکت های گرافن برای موارد محدود شرایط مرزی پرداخته اند که در آنها راه حل های فرم بسته (Closed-form expression) با استفاده از سری فوریه ارائه شده است. در برخی دیگر از مقالات، روش ریتز مورد توجه قرار گرفته و معادلات حاکم و روش حل به صورت مختصر ارائه شده است.

هدف از پژوهش حاضر، تجزیه و تحلیل خمشی غیرخطی یک تیر کامپوزیتی تقویت شده با پلاکت های گرافن (Graphene platelets reinforced composite) با توزیع یک نواخت و غیریک نواخت در راستای

مدول مؤثر یانگ کامپوزیت‌های تقویت شده با نانوپلاکت‌های گرافن از مدل میکرومکانیک اصلاح شده هالپین-تسای استفاده شده است [26]. نتایج تجربی صحت‌سنجی مدل اصلاح شده هالپین-تسای را برای ذرات پلاکت‌های گرافن با توزیع تصادفی توسط شکریه و همکاران بررسی و تأیید شده است [27]. در نتیجه، مدل یانگ مؤثر لایه k کامپوزیت مطرح شده به شرح رابطه (۲) با جای گذاری در رابطه (۳) تعریف شده است.

$$\xi_L = \frac{2a_g}{t_g}, \xi_T = \frac{2b_g}{t_g}$$

$$\eta_L = \frac{\frac{E_g}{E_m} - 1}{\frac{E_g}{E_m} + \xi_L}, \eta_T = \frac{\frac{E_g}{E_m} - 1}{\frac{E_g}{E_m} + \xi_T}$$

(۲)

$$E^{(k)} = \frac{3}{8} \frac{1 + \xi_L \eta_L V_g^{(k)}}{1 - \eta_L V_g^{(k)}} E_m + \frac{5}{8} \frac{1 + \xi_T \eta_T V_g^{(k)}}{1 - \eta_T V_g^{(k)}} E_m$$

(۳)

پارامتر مدول یانگ با E و طول، عرض و ضخامت نانوپرکننده‌های پلاکت گرافن هم‌چنین به ترتیب با اندیس‌های a_g, b_g, t_g نمایش داده می‌شوند. علاوه بر این، طبق قاعده اختلاط، نسبت پواسون (ν) لایه k ام تیر کامپوزیت تعریف شده به صورت رابطه (۴) مطرح می‌شود.

$$\nu^{(k)} = \nu_m (1 - V_g^{(k)}) + \nu_g V_g^{(k)}$$

(۴)

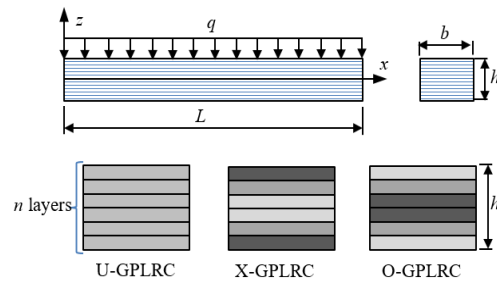
طبق نظریه تغییر شکل برشی مرتبه اول (First-Order Shear Deformation Theory) میدان جابه‌جایی تیر و کرنش اجزای تیر شامل معادلات غیرخطی فون‌کارمن (Von Kármán) به شرح زیر است:

$$u(x, z) = u_0(x) + z\phi(x)$$

$$w(x, z) = w_0(x)$$

(۵)

توزیع این پارامتر، با حرکت به سطح میانی تیر، به صورت خطی کاهش می‌یابد. علاوه بر این، کسر وزنی توزیع پلاکت‌های گرافن در تیر O-GPLRC به صورت خطی از صفحات بیرونی به سمت صفحه میانی افزایش می‌یابد. این بدان معناست که حداکثر مقدار کسر وزنی در سطح و لایه میانی و حداقل میزان توزیع این پارامتر در لایه‌های خارجی مشاهده می‌شود.



شکل ۱ پیکربندی شماتیک تیر کامپوزیتی تقویت شده با سه الگوی مختلف توزیع پلاکت گرافن

کسر حجمی پلاکت گرافن برای لایه k ام، به صورت $V_g^{(k)}$ تعریف می‌شود و به صورت فرمول بندی زیر نمایش داده می‌شود [23]:

$$U - GPLRC: V_g^{(k)} = \frac{W_g}{W_g + \frac{\rho_g}{\rho_m} (1 - W_g)}$$

$$X - GPLRC: V_g^{(k)} = \frac{2|2k - n - 1|W_g}{n \left[W_g + \frac{\rho_g}{\rho_m} (1 - W_g) \right]}$$

$$O - GPLRC: V_g^{(k)} = \frac{2(N - |2k - n - 1|)W_g}{n \left[W_g + \frac{\rho_g}{\rho_m} (1 - W_g) \right]}$$

(۱)

برای تعریف پارامترها از n, ρ و W برای تعداد کل لایه‌های تیر، چگالی جرمی و کسر وزنی استفاده شده است و زیرنویس‌های g و m به ترتیب به پلاکت گرافن و ماتریس اشاره دارند. از آنجا که هندسه و ابعاد پرکننده‌های جامد تأثیر عمده‌ای بر خواص کامپوزیت‌های پلیمری دارند [24,25]، برای برآورد

غیرخطی و شرایط مرزی تیر کامپوزیتی تقویت شده با نانوپلاکت‌های گرافن به شرح زیر به دست می‌آید:

$$A_0 \frac{d^2 u_0}{dx^2} + A_1 \frac{d^2 \phi}{dx^2} + A_0 \frac{dw_0}{dx} \frac{d^2 w}{dx^2} = 0 \quad (11)$$

$$A_1 \frac{d^2 u_0}{dx^2} + A_2 \frac{d^2 \phi}{dx^2} + A_1 \frac{dw_0}{dx} \frac{d^2 w}{dx^2} - k_s B_0 \left(\phi + \frac{dw_0}{dx} \right) = 0 \quad (12)$$

$$A_0 \frac{d^2 u_0}{dx^2} \frac{dw_0}{dx} + A_1 \frac{d^2 \phi}{dx^2} \frac{dw_0}{dx} + \frac{3}{2} A_0 \left(\frac{dw_0}{dx} \right)^2 \frac{d^2 w}{dx^2} + A_0 \frac{du_0}{dx} \frac{d^2 w_0}{dx^2} + A_1 \frac{d\phi}{dx} \frac{d^2 w_0}{dx^2} + k_s B_0 \left(\frac{d\phi}{dx} + \frac{d^2 w_0}{dx^2} \right) + q = 0 \quad (13)$$

$$\left[A_0 \frac{du_0}{dx} + A_1 \frac{d\phi}{dx} + \frac{1}{2} A_0 \left(\frac{dw_0}{dx} \right)^2 \right] \delta u_0 \Big|_{x=0}^{x=L} + \left[A_1 \frac{du_0}{dx} + A_2 \frac{d\phi}{dx} + \frac{1}{2} A_1 \left(\frac{dw_0}{dx} \right)^2 \right] \delta \phi \Big|_{x=0}^{x=L} + \left[A_0 \frac{du_0}{dx} \frac{dw_0}{dx} + A_1 \frac{d\phi}{dx} \frac{dw_0}{dx} + \frac{1}{2} A_0 \left(\frac{dw_0}{dx} \right)^2 \frac{dw_0}{dx} + k_s B_0 \left(\phi + \frac{dw_0}{dx} \right) \right] \delta w_0 \Big|_{x=0}^{x=L} = 0 \quad (14)$$

که A_0 ، A_1 ، A_2 و B_0 پارامترهای سفتی هستند که

به شرح معادله (۱۵) محاسبه می‌شوند:

$$\begin{Bmatrix} A_0 \\ A_1 \\ A_2 \\ B_0 \end{Bmatrix} = \sum_{k=1}^n \int_{\frac{h}{2}-k\Delta h}^{\frac{h}{2}-(k-1)\Delta h} \frac{E^{(k)}}{1-(\nu^{(k)})^2} \begin{Bmatrix} 1 \\ z \\ z^2 \\ 1-\nu^{(k)} \end{Bmatrix} dz \quad (15)$$

شرایط مرزی مختلف برای تیر غیرخطی مطرح شده

را می‌توان از رابطه (۱۴) فرض کرد. در این مطالعه، چهار

نوع شرایط مرزی شامل گیردار (C)، پین (P)، کشویی

(S) و آزاد (F)، به شرح زیر در نظر گرفته شده است.

Clamped (C): $u_0 = \phi = w_0$

Pinned (P): $u_0 = w_0 = A_1 \frac{du_0}{dx}$

$$\begin{aligned} \gamma_{xz}(x, z) &= \phi(x) + \frac{dw_0(x)}{dx} \varepsilon_{yy}(x, z) = \varepsilon_{zz}(x, z) \\ &= \gamma_{xy}(x, z) = \gamma_{yz}(x, z) = 0 \end{aligned} \quad (6)$$

باتوجه به مدل ساختاری تنش- کرنش الاستیک

خطی، تنش‌های درون لایه k ام تیر به صورت زیر تعریف می‌شود:

$$\begin{aligned} \sigma_{xx}^{(k)}(x, z) &= \frac{E^{(k)}}{1-(\nu^{(k)})^2} \left[\frac{du_0(x)}{dx} + z \frac{d\phi(x)}{dx} + \frac{1}{2} \left(\frac{dw_0(x)}{dx} \right)^2 \right] \\ \tau_{xz}^{(k)}(x, z) &= \frac{E^{(k)}}{2(1+\nu^{(k)})} \left(\phi(x) + \frac{dw_0(x)}{dx} \right) \\ \sigma_{yy}^{(k)}(x, z) &= \sigma_{zz}^{(k)}(x, z) = \tau_{xy}^{(k)}(x, z) \\ &= \tau_{yz}^{(k)}(x, z) = 0 \end{aligned} \quad (7)$$

برای دست‌یابی به معادلات حاکم مدنظر، از اصل

حداقل انرژی پتانسیل به شرح رابطه (۸) استفاده

می‌شود که در آن انرژی پتانسیل، U انرژی جنبشی و

S کار انجام شده توسط نیروهای خارجی است.

$$\delta \Pi = \delta(U - S) = 0 \quad (8)$$

$U =$

$$\frac{b}{2} \int_0^L \left(\sum_{k=1}^n \int_{\frac{h}{2}-k\Delta h}^{\frac{h}{2}-(k-1)\Delta h} (\sigma_{xx}^k \varepsilon_{xx} + k_s \tau_{xz}^k \gamma_{xz}) dz \right) dx \quad (9)$$

پارامتر عرض تیر و ضریب تصحیح برشی به ترتیب

با b و k_s نمایش داده شده‌اند که در این معادلات مقادیر

ضریب تصحیح برشی برابر با $\frac{5}{6}$ فرض می‌شود. کار

انجام شده توسط نیروهای خارجی $q(x)$ ، برابر است با:

$$S = b \int_0^L q(x) w_0(x) dx \quad (10)$$

با جایگزینی U و S در معادله (۸) و با

یکپارچه‌سازی معادله به دست آمده، معادله حاکم

که در آن

$$P(x_i) = \prod_{j=1, j \neq i}^N \sin\left(\frac{x_i - x_j}{2} \pi\right); j = 1, 2, \dots, N \quad (19)$$

برای $j=i$

$$A_{ij}^{(k)} = \sum_{j=1, j \neq i}^N A_{ij}^{(k)}; k = 1, 2; i = 1, 2, \dots, N \quad (20)$$

لازم به ذکر است که در این پژوهش، توزیع نقاط با استفاده از تابع چیبیشف-گوس-لوباتو (Chebyshev-Gauss-Lobatto) به صورت $x_i = \frac{1}{2L} \left[1 - \cos\left(\frac{i-1}{N-1} \pi\right) \right]$ در نظر گرفته شده است. اطلاعات بیشتر در مورد روش مربعات دیفرانسیلی هارمونیک را می توان به طور مفصل در مرجع [28] مطالعه کرد. اکنون با استفاده از روش مربعات دیفرانسیلی هارمونیک برای تفکیک سیستم معادلات (۱۰)-(۱۴)، معادلات غیرخطی زیر به دست می آید:

$$[K_L] \begin{Bmatrix} \{u\}_N \\ \{\phi\}_N \\ \{w\}_N \end{Bmatrix} + [K_{NL}] \begin{Bmatrix} \{\{u\}\{w\}\}_{N^2} \\ \{\{\phi\}\{w\}\}_{N^2} \\ \{\{w\}\{w\}\}_{N^2} \\ \{\{w\}\{w\}\{w\}\}_{N^3} \end{Bmatrix} = \begin{Bmatrix} \{0\}_{2N+1} \\ \{q\}_{N-2} \\ \{0\}_1 \end{Bmatrix} \quad (21)$$

که در آن K_L و K_{NL} ماتریس سختی خطی و غیرخطی هستند و به ترتیب دارای ابعاد $3N \times 3N$ و $3N \times (3N^3 \times N)$ می باشند. برای حل معادلات غیرخطی، یک برنامه رایانه ای بر مبنای یک حل تکرار محور بر اساس روش نیوتن-رافسون با استفاده از برنامه متلب و مطابق فرمول های ارائه شده در این جا نوشته شده است. با استفاده از این برنامه، میدان های جابه جایی و تنش های تیر به دست می آیند. لازم به ذکر است که با در نظر گرفتن $[K_{NL}] = [0]$ پاسخ خطی تیر به دست می آید.

نتایج و بحث

در ابتدای این بخش، صحت روش پیشنهادی مورد

$$\begin{aligned} & + A_2 \frac{d\phi}{dx} + \frac{1}{2} A_1 \left(\frac{dw_0}{dx} \right)^2 = 0 \\ \text{Sliding(S): } & w_0 = A_0 \frac{du_0}{dx} + A_1 \frac{d\phi}{dx} + \frac{1}{2} A_0 \left(\frac{dw_0}{dx} \right)^2 \\ & = A_1 \frac{du_0}{dx} + A_2 \frac{d\phi}{dx} + \frac{1}{2} A_1 \left(\frac{dw_0}{dx} \right)^2 = 0 \\ \text{Free(F): } & A_0 \frac{du_0}{dx} + A_1 \frac{d\phi}{dx} + \frac{1}{2} A_0 \left(\frac{dw_0}{dx} \right)^2 \\ & = A_1 \frac{du_0}{dx} + A_2 \frac{d\phi}{dx} + \frac{1}{2} A_1 \left(\frac{dw_0}{dx} \right)^2 \\ & = A_0 \frac{du_0}{dx} \frac{dw_0}{dx} + A_1 \frac{d\phi}{dx} \frac{dw_0}{dx} + \frac{1}{2} A_0 \left(\frac{dw_0}{dx} \right)^3 \\ & + k_s B_0 \left(\phi + \frac{dw_0}{dx} \right) = 0 \end{aligned} \quad (16)$$

روش مربعات دیفرانسیلی هارمونیک برای حل معادلات غیرخطی به دست آمده، استفاده شده است. در این روش، مشتق جزئی یک تابع نسبت به متغیر مکانی در یک نقطه گسسته، با جمع خطی مقادیر تابع وزنی در تمام نقاط مجزا در میدان متغیر تقریب زده می شود. به عنوان مثال، اگر $F(x)$ یک تابع در محدوده $0 < x < L$ باشد و در این محدوده N نقطه گسسته تعریف شده باشد، مشتق مرتبه j ام در نقطه x_i به صورت رابطه (۱۷) بیان می شود:

$$\frac{d^j F(x_i)}{dx^j} = \sum_{k=1}^N A_{ik}^{(j)} F(x_k); j = 1, 2, \dots, N-1 \quad (17)$$

ضرایب وزنی مربوط به مرتبه j ام مشتق تابع $F(x)$ نسبت به x در نقاط گسسته x_i در نظر گرفته شده است. با توجه به معادلات حاکم و شرایط مرزی به دست آمده در این پژوهش، لازم است مشتقات مرتبه اول و دوم محاسبه شوند. مطابق روش مربعات دیفرانسیلی هارمونیک، ضرایب وزنی $A_{ij}^{(1)}$ و $A_{ij}^{(2)}$ برای $j \neq i$ به صورت رابطه (۱۸) خواهند بود:

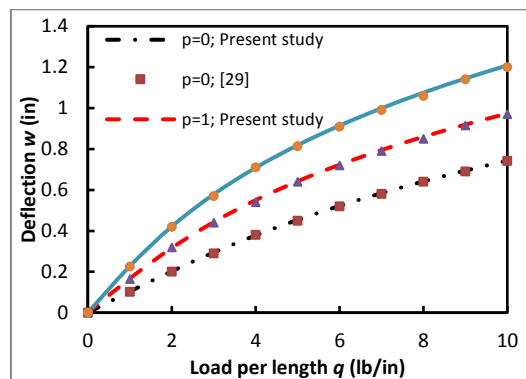
$$\begin{aligned} A_{ij}^{(1)} &= \frac{\left(\frac{\pi}{2}\right) P(x_i)}{P(x_j) \sin\left[\frac{(x_i - x_j)\pi}{2}\right]}; i, j = 1, 2, \dots, N \\ A_{ij}^{(2)} &= \\ A_{ij}^{(1)} &\left[2A_{ij}^{(1)} - \pi \cot\left(\frac{x_i - x_j}{2} \pi\right) \right]; i, j = 1, 2, \dots, N \end{aligned} \quad (18)$$

گرافن به ترتیب برابر با $a_g = 2/5 \mu\text{m}$, $L/h = 20$, $h = 0/1 \text{ m}$ و $E_g = 1010 \text{ GPa}$, $t_g = 1/5 \mu\text{m}$, $b_g = 1/5 \mu\text{m}$ و $\rho_g = 1060 \text{ kg/m}^3$ در نظر گرفته شد [13]. حداکثر خیز تیر پلاکت گرافن - اپوکسی با شرایط مرزی و کسر وزنی پلاکت‌های گرافن مختلف، در جدول (۱) برای بار یک‌نواخت بدون بعد $Q = 0/001$ ارائه شده است ($Q = \frac{qL^2(1-\nu^2)}{h^2E_m}$). همچنین، به‌عنوان نمونه‌ای برای چگونگی هم‌گرایی روش حل، نتایج هم‌گرایی این مطالعه در شکل (۳) نشان داده شده است. همان‌طور که در این شکل نشان داده شده است، روش حل از سرعت هم‌گرایی مناسبی برخوردار است. با توجه به جدول (۱)، نتایج حاضر به‌خوبی با نتایج گزارش شده در مطالعات قبل (مرجع [13]) مطابقت دارد. لازم به ذکر است که در مرجع [13] از روش ریتز برای حل معادلات استفاده شده است. با توجه به در نظر گرفتن فرم سری چندجمله‌ای برای تابع مفروض جابه‌جایی‌ها، شرایط مرزی محدود شده است اما در روش مربعات دیفرانسیلی، این محدودیت وجود ندارد و فرمول‌بندی ارائه شده قابل کاربرد برای شرایط مرزی مختلف، از جمله شرط مرزی آزاد، خواهد بود.

پس از تأیید روش حل پیشنهادی، در این بخش تجزیه و تحلیل پارامتری انجام شده و نتایج آن مورد بررسی قرار گرفته است.

تیرهای کامپوزیتی تقویت‌شده با پلاکت‌های گرافن چندلایه با خصوصیات $h = 0/1 \text{ m}$ و $L/h = 20$ در نظر گرفته شده است. هر لایه این تیر کامپوزیتی ترکیبی از اپوکسی با مدول یانگ $E_m = 3 \text{ GPa}$ ، چگالی جرمی $\rho_m = 1200 \text{ kg/m}^3$ ، نسبت پواسون $\nu_m = 0/38$ و پلاکت‌های گرافن با مدول یانگ $E_g = 1010 \text{ GPa}$ ، چگالی جرمی $\rho_g = 1062/5 \text{ kg/m}^3$ ، نسبت پواسون $\nu_g = 0/186$ و طول $a_g = 2/5 \mu\text{m}$ عرض $b_g = 1/5 \mu\text{m}$ و ضخامت $t_g = 1/5 \mu\text{m}$ می‌باشد [7,30].

ارزیابی قرار می‌گیرد. برای بررسی هم‌گرایی روش حل پیشنهادی، چندین مدل با تعداد نقاط مختلف شبکه مورد بررسی قرار گرفت. این مطالعه هم‌گرایی نشان داد که انتخاب ۳۱ نقطه شبکه در راستای x ، با توزیع تابع چبیشف - گوس - لوباتو، در مسائل مورد بررسی، پاسخ مطمئنی را ارائه می‌دهد. نتایج خمش غیرخطی تیر در شکل (۲) برای خیز تیرهای مدرج تابعی با شرایط مرزی دو انتها گیردار، در مقایسه با نتایج گزارش شده توسط ردی و همکاران [29]، ارائه شده است. مدول یانگ مواد مدرج تابعی در جهت ضخامت با استفاده از رابطه $E(z) = (E_1 - E_2) \left(\frac{z}{h} + \frac{1}{2} \right)^p + E_2$ به دست می‌آید، که در آن p اندیس مدرج تابعی خواص مواد است. خواص مادی و هندسی تیر به این صورت فرض شده است: psi $E_1 = 30 \times 10^6$, $E_2 = 10 \times 10^6$, $\nu = 0/4$, $b/h = 1$, $b \ll h$ و $L/h = 100$ است. همان‌طور که در شکل (۲) مشاهده می‌شود، نتایج فعلی با روش مربعات دیفرانسیلی هارمونیک با نتایج قبلی مطابقت دارد.



شکل ۲ نمودار خیز وسط تیر برحسب بار برای تیرهای دوسر گیردار مدرج تابعی

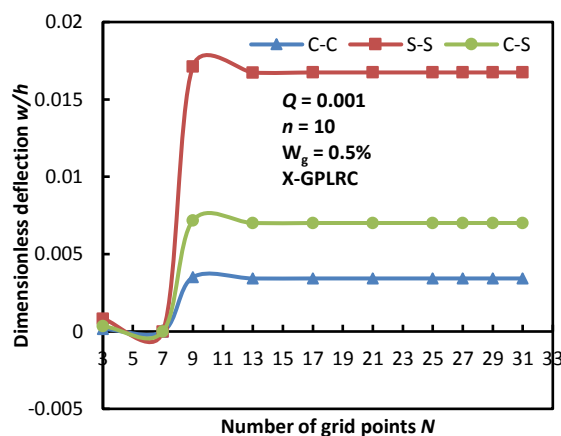
برای بررسی بیشتر روش پیشنهادی، مطالعه‌ای که توسط فنگ و همکاران انجام شده است [14]، در نظر گرفته شده است. در این حالت، ماتریس پلیمری اپوکسی با خواص مکانیکی برابر با $E_m = 2/85 \text{ GPa}$ و $\rho_m = 1200 \text{ kg/m}^3$ فرض می‌شود. این تیر شامل ۱۰ لایه با ضخامت، ابعاد، مدول یانگ و چگالی جرمی پلاکت‌های

شکل (۴) خمش بدون بعد تیر را برحسب موقعیت طولی تیر، برای شرایط مرزی مختلف برای هر دو تحلیل خطی و غیرخطی با بار بدون بعد $Q=0.02$ ، تعداد لایه هایی برابر با $n=10$ ، کسر وزنی $W_g=0.5\%$ و الگوی توزیع X-GPLRC، نشان می دهد. همان طور که در شکل (۴) نمایان است، با استفاده از تحلیل غیرخطی، خمش تیر کاهش می یابد. علاوه بر این، با کاهش درجه آزادی، خمش تیر افزایش می یابد. برای سایر مقادیر بار بدون بعد،

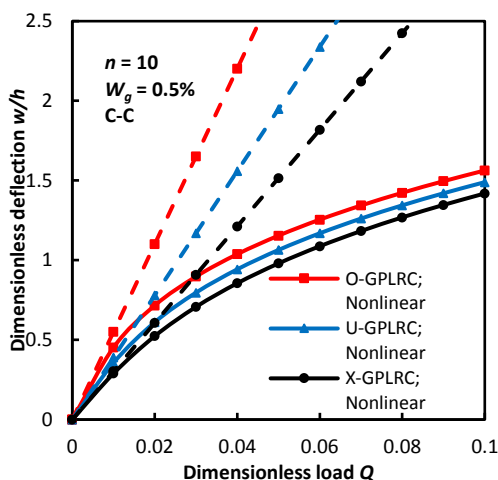
شکل (۵) نشان داده شده است. همان طور که در شکل (۵) قابل مشاهده است، افزایش بار منجر به تفاوت معناداری بین تحلیل های خطی و غیرخطی می شود؛ به عنوان مثال، این اختلاف بین نتایج خطی و غیرخطی، برای بار بدون بعد $Q=0.02$ ، با شرایط مرزی C-C، C-P، C-P و P-P به ترتیب 1.6% ، 6.4% ، 21.1% و 43.3% می باشد.

جدول ۱ حداکثر خمش بدون بعد تیرهای کامپوزیتی پلاکت گرافن/اپوکسی

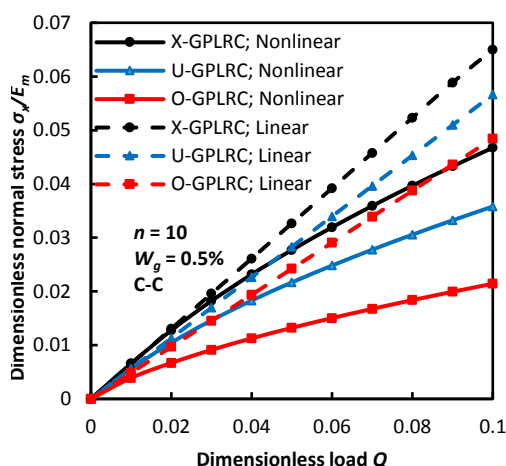
	$W_g\%$	U-GPLRC			X-GPLRC		
		مطالعه حاضر	مرجع [13]	درصد اختلاف	مطالعه حاضر	مرجع [13]	درصد اختلاف
C-C	0.5	0.004441	0.004745	6.4	0.003430	0.003680	6.8
	1	0.002718	0.002902	6.3	0.001997	0.002144	6.9
	1.5	0.001958	0.002090	6.3	0.001408	0.001513	6.9
S-S	0.5	0.021821	0.022988	5.1	0.016742	0.017659	5.2
	1	0.013344	0.014058	5.1	0.009730	0.010269	5.2
	1.5	0.009610	0.010124	5.1	0.006856	0.007239	5.3
C-S	0.5	0.009116	0.009697	6.0	0.007012	0.007481	6.3
	1	0.005575	0.005712	2.4	0.004078	0.004197	2.8
	1.5	0.004015	0.004114	2.4	0.002874	0.002960	2.9



شکل ۳ نمودار خمش بی بعد تیر برحسب تعداد نقاط گرهی مورد استفاده در روش حل برای شرایط مرزی مختلف



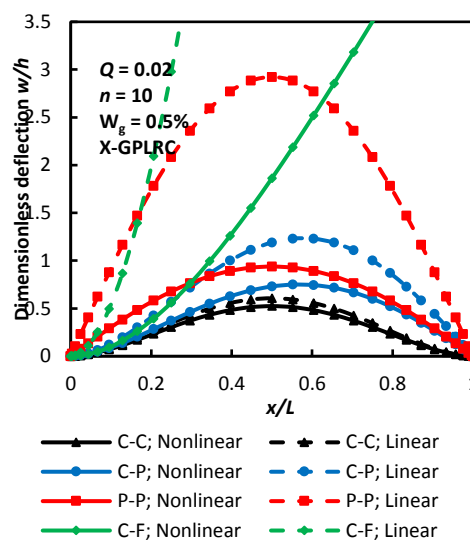
شکل ۶ نمودار ماکزیمم خیز بدون بعد تیر تقویت شده با نانوپلاکت‌های گرافن با توزیع‌های متفاوت



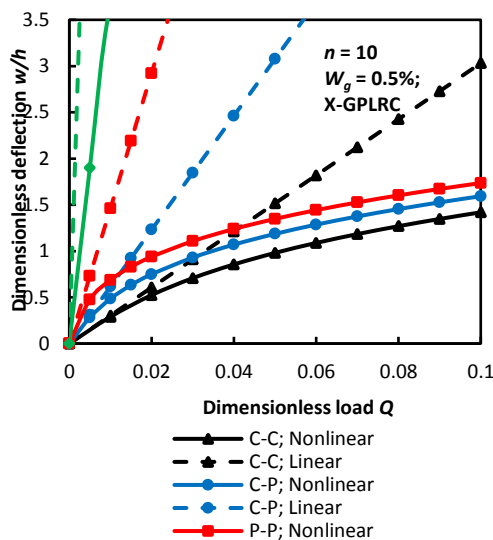
شکل ۷ نمودار ماکزیمم تنش نرمال بی‌بعد تیر تقویت شده با نانوپلاکت‌های گرافن با توزیع‌های متفاوت

همان‌طور که در شکل (۶) مشاهده می‌شود، تیرهای کامپوزیتی با توزیع O-GPLRC و X-GPLRC به ترتیب دارای بیشترین و کمترین مقدار خیز هستند. این نتایج نشان می‌دهد که برای کاهش خیز، الگوی X-GPLRC کارآمدترین نوع توزیع نانوپلاکت‌ها است. الگوی X-GPLRC تعداد بیشتری نانوپرکننده پلاکت گرافن را در قسمت‌های بالا و پایین تیر دارد و این امر منجر به افزایش سفتی خمشی تیر و کاهش خیز تیر

به منظور بررسی تأثیر الگوهای توزیع پلاکت‌های گرافن بر رفتار خمشی تیرهای تقویت شده با ذرات گرافن، مطالعه دیگری انجام شده است. شکل‌های (۶) و (۷) به ترتیب حداکثر خیز و تنش نرمال بدون بعد را برای یک تیر دو سر گیردار (C-C) با سه الگوی توزیع متفاوت پلاکت‌های گرافن نشان می‌دهند.



شکل ۸ نمودار خیز بی‌بعد تیر برحسب موقعیت مکانی بی‌بعد برای شرایط مرزی مختلف



شکل ۹ نمودار ماکزیمم خیز بی‌بعد برحسب بار بی‌بعد وارد شده بر تیر برای شرایط مرزی مختلف

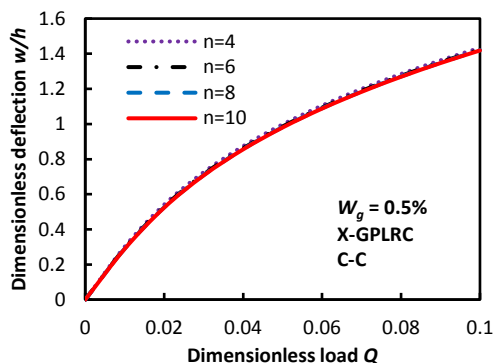
می‌شود. باتوجه به شکل (۷) این توزیع نانوپرکننده‌ها هم‌چنین منجر به ایجاد بیشترین تنش نرمال در بین الگوهای مورد مطالعه می‌شود. از طرف دیگر، در الگوی O-GPLRC تعداد بیشتری نانوپرکننده پلاکت گرافن در نزدیکی سطوح میانی تیر تعبیه شده‌است، این بدان معناست که سفتی خمشی تیر با این توزیع نانوپرکننده‌ها کاهش می‌یابد. هم‌چنین تأثیر الگوهای توزیع پلاکت‌های گرافن بر عملکرد خمشی تیرهای کامپوزیت تقویت شده برای تیرهایی با شرایط مرزی C-P، C-C و P-P با کسر وزنی ۰/۰۵٪ در جدول (۲) به همراه نتایج به دست آمده فهرست شده‌است. نکته قابل توجه این است که نتایج مشابهی برای سایر کسرهای وزنی GPL به دست می‌آید که به منظور رعایت اختصار، در این جا ارائه نشده‌است. شکل‌های (۸) و (۹) اثرات کسر وزنی بر رفتار تیر تقویت شده با نانوپلاکت‌های گرافن با کسرهای وزنی ۰/۰۵، ۱ و ۱/۰۵٪ را مورد مقایسه و بررسی قرار می‌دهد. همان‌طور که در این نمودارها مشاهده می‌شود، با

افزودن پلاکت‌های بیشتر به ماتریس، خیز تیر کاهش و تنش‌های موجود در آن افزایش می‌یابد. با بررسی این بخش، می‌توان نتیجه گرفت که با افزایش کسر وزنی پلاکت‌های گرافن، سفتی خمشی تیر بهبود می‌یابد. همان‌طور که در شکل‌های (۸) و (۹) مشاهده می‌شود، با افزایش کسر وزنی نانوپلاکت‌های گرافن، اختلاف بین نتایج خطی و غیرخطی کاهش می‌یابد. به عنوان مثال، ماکزیمم اختلاف نسبی جابه‌جایی‌های خطی و غیرخطی برای کسرهای وزنی ۰/۰۵، ۱ و ۱/۰۵٪ به ترتیب برابر با ۱۱۳، ۶۳ و ۴۲٪، و به‌طور مشابه برای تنش‌ها، ۳۹، ۲۱ و ۱۲٪ است. این امر ناشی از افزایش استحکام خمشی تیر است. هم‌چنان‌که در شکل‌های (۶) و (۷) نیز با تغییر الگوی توزیع، ترتیب استحکام خمشی در ترتیب اختلاف بین نتایج خطی و غیرخطی مشاهده می‌شود. یعنی با تغییر الگوی توزیع از O به U و از U به X، هم‌چنان‌که استحکام خمشی افزایش می‌یابد اختلاف بین نتایج خطی و غیرخطی هم کاهش می‌یابد.

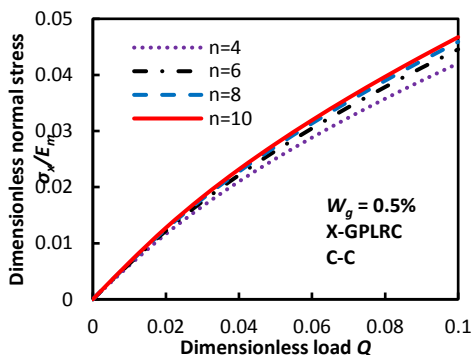
جدول ۲ حداکثر خیز و تنش نرمال بدون بعد تیر تقویت شده با نانوپلاکت‌های گرافن با توزیع‌های متفاوت

		Q = ۰/۰۱			Q = ۰/۰۲			Q = ۰/۰۴		
		X-GPLRC	O-GPLRC	U-GPLRC	X-GPLRC	O-GPLRC	U-GPLRC	X-GPLRC	O-GPLRC	U-GPLRC
w/h; خطی	C-C	۰/۲۸۹۲۲	۰/۴۵۲۸۸	۰/۳۵۶۲۶	۰/۵۲۳۸۸	۰/۷۱۶۳۰	۰/۶۱۰۹۹	۰/۸۵۵۵۵	۱/۰۳۷۹۶	۰/۹۴۲۹۱
	C-P	۰/۴۸۴۱۰	۰/۶۲۱۵۱	۰/۵۴۸۵۷	۰/۷۴۸۵۵	۰/۸۹۱۴۰	۰/۸۰۸۴۰	۱/۰۶۹۶۲	۱/۱۷۱۰۴	۰/۱۱۹۷۱
	P-P	۰/۶۸۷۱۸	۰/۷۵۸۴۲	۰/۷۲۲۷۷	۰/۹۳۸۱۵	۰/۹۹۳۳۴	۰/۹۶۶۱۱	۱/۲۳۸۲۳	۱/۲۷۹۲۵	۱/۲۵۹۳۱
w/h; غیر خطی	C-C	۰/۳۰۳۱۱	۰/۵۵۰۵۷	۰/۳۸۹۷۹	۰/۶۰۶۲۱	۱/۱۰۱۱۴	۰/۷۷۹۵۸	۱/۲۱۲۴۲	۲/۲۰۲۹۹	۱/۵۵۹۱۷
	C-P	۰/۶۱۵۳۱	۱/۱۲۷۷۵	۰/۷۹۴۸۲	۱/۲۳۰۶۳	۲/۲۵۵۵۱	۱/۵۸۹۶۳	۰/۴۶۱۲۶	۴/۵۱۱۰۱	۳/۱۷۹۲۷
	P-P	۰/۴۶۰۹۰	۲/۶۹۸۲۴	۱/۸۹۴۳۲	۲/۹۲۱۸۱	۵/۳۹۶۴۸	۳/۷۸۸۶۴	۵/۸۴۳۶۲	۱۰/۷۹۲۹	۷/۵۷۷۲۹
σ_x/E_m ; خطی	C-C	۰/۰۰۶۶۰	۰/۰۰۳۹۰	۰/۰۰۵۶۱	۰/۰۱۲۷۵	۰/۰۰۶۷۰	۰/۰۱۰۴۶	۰/۰۲۳۱۷	۰/۰۱۱۲۶	۰/۰۱۸۳۱
	C-P	۰/۰۰۹۱۲	۰/۰۰۴۵۶	۰/۰۰۷۳۱	۰/۰۱۶۰۰	۰/۰۰۷۵۰	۰/۰۱۲۴۲	۰/۰۲۶۷۳	۰/۰۱۲۱۰	۰/۰۲۰۳۵
	P-P	۰/۰۰۶۱۶	۰/۰۰۳۳۳	۰/۰۰۴۳۶	۰/۰۰۹۱۶	۰/۰۰۵۰۲	۰/۰۰۶۳۲	۱/۰۱۳۲۸	۰/۰۰۷۵۴	۰/۰۰۹۰۳
σ_x/E_m ; غیر خطی	C-C	۰/۰۰۶۲۵	۰/۰۰۴۸۴	۰/۰۰۵۶۵	۰/۰۱۳۰۵	۰/۰۰۹۶۹	۰/۰۱۱۳۱	۰/۰۲۶۱۲	۰/۰۳۱۹۷	۰/۰۲۲۶۴
	C-P	۰/۰۰۹۷۶	۰/۰۱۳۴۷	۰/۰۰۸۴۶	۰/۰۱۹۵۲	۰/۰۵۳۵۶	۰/۰۱۹۴۴	۰/۰۶۶۲۰	۰/۲۱۳۹۱	۰/۰۷۲۵۶
	P-P	۰/۰۱۷۲۵	۰/۰۵۲۷۰	۰/۰۱۸۵۳	۰/۰۶۳۶۳	۰/۲۱۰۵۶	۰/۰۷۰۵۰	۰/۲۴۹۱۱	۰/۸۴۲۰۹	۰/۲۷۸۲۸

در مطالعه دیگری به منظور بررسی تأثیر تعداد لایه‌های پلاکت‌های گرافن بر عملکرد خمشی تیر تقویت‌شده با نانوپلاکت‌های گرافن، تعداد لایه‌ها از ۴ به ۱۰ افزایش یافته است. نتایج خیز و تنش نرمال این مطالعه، برای توزیع X-GPLRC، به ترتیب در شکل‌های (۱۰) و (۱۱) نمایش داده شده و اختلاف بین نتایج خیز برای تعداد لایه‌های مختلف، کمتر از ۱٪ گزارش شده است. با این حال، نتایج تعداد لایه‌ها از ۴ به ۱۰ برای تنش‌های نرمال دارای اختلاف حدود ۱۰٪ بوده و تفاوت بین نتایج با تعداد لایه‌های ۸ و ۱۰ ناچیز گزارش شد. دلیل این امر آن بود که با افزایش تعداد لایه‌ها، خواص درجه‌بندی شده پیوسته، برای مواد تیر به‌طور دقیق قابل دست‌یابی است.

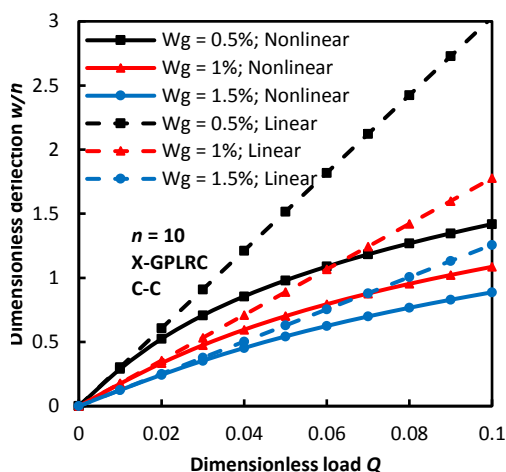


شکل ۱۰ نمودار ماکزیمم خیز بدون تیر تقویت‌شده با نانوپلاکت‌های گرافن با تعداد لایه‌های متفاوت

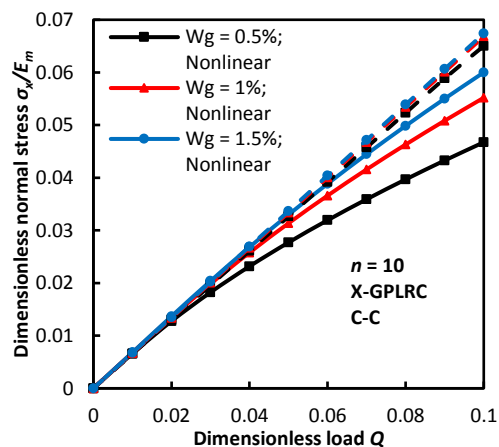


شکل ۱۱ نمودار ماکزیمم تنش نرمال بدون تیر تقویت‌شده با نانوپلاکت‌های گرافن با تعداد لایه‌های متفاوت

لازم به ذکر است که باتوجه به نتایج تجربی ارائه‌شده در مراجع مختلف، افزودن مقادیر بسیار کم پلاکت گرافن به تیر، خواص را به‌صورت قابل ملاحظه‌ای بهبود می‌بخشد و البته محدودیت‌های ساخت هم مانع افزایش درصد وزنی گرافن می‌شود. نتایج گزارش‌شده در مراجع نشان می‌دهد که افزایش بیشتر گرافن، اثر تقویتی ندارد و باعث کاهش خواص استحکامی خواهد شد (به دلیل پراکنندگی غیریک‌نواخت که در درصد‌های بالاتر اتفاق می‌افتد). معمولاً درصد وزنی بیشتر از حدود ۲ تا ۵٪ توصیه نمی‌شود [31-35].



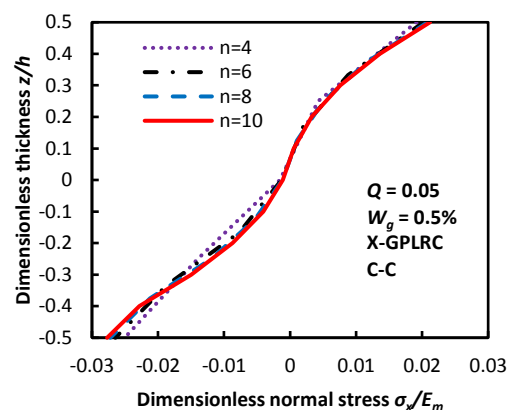
شکل ۸ نمودار ماکزیمم خیز بی‌بعد تیر تقویت‌شده با نانوپلاکت‌های گرافن با کسرهای وزنی متفاوت



شکل ۹ نمودار ماکزیمم تنش نرمال بدون تیر تقویت‌شده با نانوپلاکت‌های گرافن با کسرهای وزنی متفاوت

ارائه شده است. معادلات دیفرانسیل حاکم این پژوهش براساس نظریه تغییر شکل برشی مرتبه اول با کمک اصل حداقل انرژی پتانسیل استفاده شده و معادلات دیفرانسیل غیرخطی با استفاده از روش مربعات دیفرانسیلی هارمونیک حل شده است. خواص مکانیکی و مدول مؤثر یانگ کامپوزیت الیافی تقویت شده با پلاکت گرافن با استفاده از مدل میکرومکانیک هالپین- تسای اصلاح شده محاسبه شده و از قاعده اختلاط برای تعیین نسبت پواسون مؤثر استفاده شده است. ابتدا، مطالعات مقایسه‌ای بین تیرهای استاندارد کامپوزیتی مدرج تابعی و تیرهایی که توسط پلاکت‌های گرافن تقویت شده‌اند ارائه شده و سپس اثرات شرایط مرزی، کسر وزنی و الگوی توزیع پلاکت‌های گرافن و تعداد کل لایه‌ها بر ویژگی‌های خمش غیرخطی تیرهای کامپوزیتی مورد بررسی قرار گرفته است. نتایج این مطالعه نشان‌دهنده قابلیت بالای روش پیشنهادی برای حل مسائل غیرخطی است و نشان می‌دهد که روشی مناسب برای به دست آوردن رفتار خمشی تیرهای کامپوزیتی تقویت شده است. با افزایش کسر وزنی پلاکت‌های گرافن، مقاومت خمشی تیر بهبود یافته و خیز تیر کاهش می‌یابد. علاوه بر این، افزایش تعداد کل لایه‌های کامپوزیت تقویت شده با پلاکت گرافن، به ایجاد تنش هموارتری در راستای ضخامت تیر منجر می‌شود. با توجه به نتایج به دست آمده، تعداد ۱۰ لایه نتایج مطلوبی را از نظر تغییرات هموار تنش در راستای ضخامت به همراه خواهد داشت و می‌توان از روش ساخت لایه‌ای به عنوان تقریب بسیار خوبی برای ساخت تیرهای مدرج تابعی معمولی استفاده کرد. همان‌طور که در مرور مطالعات گذشته مشهود است، داده‌های تجربی اندکی برای تیرهای کامپوزیت تقویت شده با پلاکت گرافن موجود است و پیشنهاد می‌شود مجموعه‌ای سیستماتیک از آزمایش‌ها برای مطالعات بیشتر در این زمینه ترتیب داده شود.

شکل (۱۲) تغییرات تنش نرمال را در راستای ضخامت تیر در $x=0$ نشان می‌دهد که تیر تقویت شده با نانوپلاکت‌های گرافن با توزیع X-GPLRC دارای تعداد لایه‌های ۴، ۶، ۸ و ۱۰ است. با توجه به شکل (۱۲) افزایش تعداد لایه‌های تیر، دلیل تغییرات کمتر در پارامترهای مواد بوده و منجر به ایجاد تنش هموارتری در راستای ضخامت تیر شده است. علاوه بر این، شکل (۱۲) نشان می‌دهد که تحلیل غیرخطی به یک تنش نرمال غیرصفر در محور میانی تمایل دارد. مقادیر مختلف تنش طبیعی در قسمت‌های بالا و پایین تیر ایجاد و توزیع نامتقارن مشاهده شده به دلیل فرمول غیرخطی تیر است که در آن کشش صفحه میانی نادیده گرفته نشده است. با توجه به نتایج ارائه شده در این بخش، تعداد ۱۰ لایه نتایج مطلوبی را از نظر تغییرات هموار تنش در راستای ضخامت به همراه خواهد داشت و می‌توان از روش ساخت لایه‌ای به عنوان تقریب بسیار خوبی برای ساخت تیرهای مدرج تابعی معمولی استفاده کرد.



شکل ۱۲ تغییرات تنش نرمال بدون بعد تیر تقویت شده با نانوپلاکت‌های گرافن با تعداد لایه‌های متفاوت، در راستای ضخامت تیر

نتیجه‌گیری

در این مقاله تجزیه و تحلیل خمش غیرخطی یک تیر کامپوزیتی تقویت شده توسط پلاکت‌های گرافن با الگوهای توزیع متفاوت در راستای ضخامت، بررسی و

Orthotropic plate	صفحه اورتوتروپیک	واژه نامه	
Nonlocal elasticity theory	تئوری الاستیسیته غیرمحلّی	Graphene platelet	پلاکت گرافن
Minimum potential energy	حداقل انرژی پتانسیل	Harmonic differential quadrature method	روش مربعات دیفرانسیلی هارمونیک
Shear correction factor	ضریب تصحیح برشی	Graphene platelet reinforced composite	کامپوزیت تقویت شده با پلاکت های گرافن
Displacement fields	میدان های جابه جایی	Functionally graded material	ماده مدرج تابعی
Discrete point	نقطه گسسته	Rule of mixture	قانون اختلاط
Young's modulus	مدول یانگ	Closed-form solutions	راه حل های فرم بسته
Poisson's ratio	نسبت پواسون	First-Order Shear Deformation Theory	تغییر شکل برشی مرتبه اول
Volume fraction	کسر حجمی	Frequency of applied dynamic load	فرکانس تحریک بار دینامیکی
Randomly oriented	توزیع تصادفی	Thermal environments	محیط های حرارتی

مراجع

1. Hosseini Kordkheili, S. A., and Moshrefzadeh-Sani, H., "Mechanical Properties of Double-Layered Graphene Sheets", *Computational Materials Science*, Vol. 69, Pp. 335-343, (2013).
2. Balandin, A. A., "Thermal Properties of Graphene and Nanostructured Carbon Materials", *Nature Materials*, Vol. 10, No. 8, Pp. 569-581, (2011).
3. Murugan, A. V., Muraliganth, T., and Manthiram, A., "Rapid, Facile Microwave-Solvothermal Synthesis of Graphene Nanosheets and their Polyaniline Nanocomposites for Energy Storage", *Chemistry of Materials*, Vol. 21, No. 21, Pp. 5004-5006, (2009).
4. Kuila, T., Bose, S., Khanra, P., Mishra, A. K., Kim, N. H., and Lee, J. H., "Recent Advances in

- Graphene-Based Biosensors", *Biosensors and Bioelectronics*, Vol. 26, No. 12, Pp. 4637-4648, (2011).
5. Kuilla, T., Bhadra, S., Yao, D., Kim, N. H., Bose, S., and Lee, J. H., "Recent Advances in Graphene Based Polymer Composites", *Progress in Polymer Science*, Vol. 35, No. 11, Pp. 1350-1375, (2010).
 6. Schwierz, F., "Graphene Transistors", *Nature Nanotechnology*, Vol. 5, No. 7, Pp. 487-496, (2010).
 7. Rafiee, M. A., Rafiee, J., Wang, Z., Song, H., Yu, Z. Z., and Koratkar, N., "Enhanced Mechanical Properties of Nanocomposites at Low Graphene Content", *American Chemical Society Nano*, Vol. 3, No. 12, Pp. 3884-3890, (2009).
 8. Hu, K., Kulkarni, D. D., Choi, I., and Tsukruk, V. V., "Graphene-Polymer Nanocomposites for Structural and Functional Applications", *Progress in Polymer Science*, Vol. 39, Pp. 1934-1972, (2014).
 9. Guo, Z., Song, L., Boay, C. G., Li, Z., Li, Y., and Wang, Z., "A New Multiscale Numerical Characterization of Mechanical Properties of Graphene-Reinforced Polymer-Matrix Composites", *Composite Structures*, Vol. 199, Pp. 1-9, (2018).
 10. Aminivida, H., Shokrollahi, H., and Beigpour, R., "Thermal Stress Analysis of the Carbon Nanotube Reinforced Composite Cylindrical Shells", *Amirkabir Journal of Mechanical Engineering*, Vol. 53, No. 10, Pp.14-14, (2021).
 11. King, J. A., Klimek, D. R., Miskioglu, I., and Odegard, G. M., "Mechanical Properties of Graphene Nanoplatelet/Epoxy Composites", *Journal of Applied Polymer Science*, Vol. 128, Pp. 4217-4223, (2013).
 12. Liang, J., Wang, Y., Huang, Y., Ma, Y., Liu, Z., and Cai, J., "Electromagnetic Interference Shielding of Graphene/Epoxy Composites", *Carbon*, Vol. 47, Pp. 922-925, (2008).
 13. Feng, C., Kitpornchai, S., and Yang, J., "Nonlinear Bending of Polymer Nanocomposite Beams Reinforced with Non-Uniformly Distributed Graphene Platelets (GPLs)", *Composites Part B: Engineering*, Vol. 110, Pp. 132-140, (2017).
 14. Barati, M. R., and Zenkour, A. M., "Analysis of Postbuckling of Graded Porous GPL-Reinforced Beams with Geometrical Imperfection", *Mechanics of Advanced Materials and Structures*, Vol. 26, No. 6, Pp. 503-511, (2019).
 15. Bidgoli, E. R., and Arefi, M., "Free Vibration Analysis of Micro Plate Reinforced with Functionally Graded Graphene Nanoplatelets Based on Modified Strain-Gradient Formulation", *Journal of Sandwich Structures & Materials*, DOI: 10.1177/1099636219839302, (2019).
 16. Yang, S.Y., Lin, W. N., Huang, Y. L., Tien, H. W., Wang, J. Y., Ma, C. C. M., et al., "Synergetic Effects of Graphene Platelets and Carbon Nanotubes on the Mechanical and Thermal Properties of Epoxy Composites", *Carbon*, Vol. 9, Pp. 793-803, (2011).
 17. Dong, Y. H., He, L. W., Wang, L., et al., "Buckling of Spinning Functionally Graded Graphene Reinforced Porous Nanocomposite Cylindrical Shells: An Analytical Study", *Aerospace Science*

- Technology*, Vol. (82-83), Pp. 466-478, (2018).
18. Barati, M. R., and Shahverdi, H., "Finite Element Forced Vibration Analysis of Refined Shear Deformable Nanocomposite Graphene Platelet-Reinforced Beams", *Journal of the Brazilian Society of Mechanical Sciences and Engineering*, Vol. 42, Pp. 33, (2020).
 19. Arefi, M., Bidgoli, E. M. R., Dimitri, R., Baccocchi, M., and Tornabene, F., "Nonlocal Bending Analysis of Curved Nanobeams Reinforced by Graphene Nanoplatelets", *Composites Part B: Engineering*, Vol. 166, Pp. 1-12, (2019).
 20. Ziaee, S., "Free Vibration of Heterostructures of Graphene and Boron Nitride in Thermal Environment Via Aifantis Theory with Velocity Gradients and Ritz Method", *Amirkabir Journal of Mechanical Engineering*, Vol. 50, No. 5, Pp. 1061-1078, (2018).
 21. Varzandian, Gh., Ziaee, S., and Farid, M., "Nonlinear Vibration and Stability Analysis of Thermally Postbuckled Double-Layered Graphene Sheet", *Amirkabir Journal of Mechanical Engineering*, Vol. 52, No. 8, Pp. 2177-2194 (2020).
 22. Bahrami, M. A., Heshmati, M., and Feli, S., "A Study on the Synergistic Influence of Reduced Graphene Oxide and MWCNTs on the Mechanical Properties of Epoxy Nanocomposite", *Amirkabir Journal of Mechanical Engineering*, Vol. 53, No. 6 (Special Issue), Pp. 13-13, (2021).
 23. Wang, Y., Feng, C., Santiuste, C., et al., "Buckling and Postbuckling of Dielectric Composite Beam Reinforced with Graphene Platelets (GPLs)", *Aerospace Science Technology*, Vol. 91, Pp. 208-218, (2019).
 24. Choi, J., Shin, H., Yang, S. and Cho, M., "The Influence of Nanoparticle Size on the Mechanical Properties of Polymer Nanocomposites and the Associated Interphase Region: A Multiscale Approach", *Composite Structures*, Vol. 119, Pp. 365-376, (2015).
 25. Aluko, O., Gowtham, S., and Odegard, G. M., "The Development of Multiscale Models for Predicting the Mechanical Response of GNP Reinforced Composite Plate", *Composite Structures*, Vol. 206, Pp. 526-534, (2018).
 26. Shokrieh, M. M., Ghoreishi, S. M., and Esmkhani, M., "Toughening Mechanisms of Nanoparticle-Reinforced Polymers. In: Toughening Mechanisms in Composite Materials", *Woodhead Publishing*, Pp. 295-320, (2015).
 27. Shokrieh, M. M., Esmkhani, M., Shahverdi, H. R., and Vahedi, F., "Effect of Graphene Nanosheets (GNS) and Graphite Nanoplatelets (GNP) on the Mechanical Properties of Epoxy Nanocomposites", *Science of Advanced Materials*, Vol. 5, Pp. 260-266, (2013).
 28. Civalek, Ö., and Ülker, M., "Harmonic Differential Quadrature (HDQ) for Axisymmetric Bending Analysis of Thin Isotropic Circular Plates", *Structural Engineering and Mechanics*, Vol. 17, No. 1, Pp. 1-14, (2004).

29. Reddy, J., El-Borgi, S., and Romanoff, J., "Non-Linear Analysis of Functionally Graded Microbeams Using Eringen 's Non-Local Differential Model", *International Journal of Non-Linear Mechanics*, Vol. 67, Pp. 308-318, (2014).
30. Liu, F., Ming, P., and Li, J., "Ab Initio Calculation of Ideal Strength and Phonon Instability of Graphene under Tension", *Physical Review B*, Vol. 76, No. 6, 064120, (2007).
31. Shokrieh, M. M., Esmkhani, M., and Haghhighatkah, A. R., "Mechanical Properties of Graphene/Epoxy Nanocomposites under Static and Flexural Fatigue Loadings", *Mechanics of Advanced Composite Structures*, Vol. 1, Pp. 1-7, (2014).
32. Zegeye, E., Ghamsari, A.K. and Woldesenbet, E., "Mechanical Properties of Graphene Platelets Reinforced Syntactic Foams", *Composites Part B: Engineering*, Vol. 60, Pp. 268-273, (2014).
33. Nagar, S., Sharma, K., Kukreja, N., and Shukla, M. K., "Micromechanical and Experimental Analysis of Mechanical Properties of Graphene/CNT Epoxy Composites", *Materials Today: Proceedings*, Vol. 26, Pp. 1855-1863, (2020).
34. Mishra, B. P., Mishra, D., Panda, P., and Maharana, A., "An Experimental Investigation of the Effects of Reinforcement of Graphene Fillers on Mechanical Properties of Bi-Directional Glass/Epoxy Composite", *Materials Today: Proceedings*, Vol. 33, Pp. 5429-5441, (2020).
35. Wang, J., Wang, X., Xu, C., Zhang, M., and Shang, X., "Preparation of Graphene/Poly (Vinyl Alcohol) Nanocomposites with Enhanced Mechanical Properties and Water Resistance", *Polymer International*, Vol. 60, Pp. 816-822, (2011).

Nonlinear Bending Analysis of Nanocomposite Beams Reinforced by Graphene Platelets using Harmonic Differential Quadrature Method

Hassan Shokrollahi¹ Reza Beigpour²

1. Introduction

Reinforcements in beams play an important role in providing strength and stiffness. The novel materials considered for this aim are graphenes that have extraordinary mechanical, thermal, electrical, and optical properties. Besides, graphenes are encouraging applicants for the design and progress of different applications of nanoelectromechanical systems (NEMS) such as nanocomposites, mass and gas sensors, transistors, and semiconducting devices.

Numerous kinds of graphene's products such as graphene platelet (GPL) and graphene oxide are used broadly in structural components. As shown by the experimental and theoretical works, since graphene has a wide surface to bond with the polymer chains, an excellent interactive action with the polymer matrix forms by using GPLs as reinforcement nanofillers in polymer matrix. In most applications, polymers are used as elastomeric and flexible matrices for composites, due to their favored physical properties. As concluded frequently in previous researches, the small content of graphene can mainly improve the bending behavior of graphene epoxy composite beam. Since the fabrication of a structure by a functionally graded (FG) material, in which the GPL quantity varies continuously through the thickness, is very difficult, a multilayer arrangement for the structure is used. In this case, each layer has a constant GPL weight fraction while proper distribution is used through the thickness.

According to the nonlinear nature of the physical phenomena of the world, modeling each behavior leads to the nonlinear equations. There are the majority of problems in which analytical methods do not exist to solve them. Therefore, proper numerical methods are needed to solve the obtained nonlinear equations. To the best knowledge of the authors, reported works in the literature on nonlinear bending of GPLRC beams were only about the limited cases of boundary conditions, in which exact closed-form solutions are presented using Fourier series. In a few studies, Ritz method has used and the governing equations and solution method have not been presented in an extended way. The aim of this work is to study the nonlinear bending analysis of a composite beam

reinforced by graphene platelets (GPL) having non-uniform distribution through the thickness. Governing differential equations are derived based on the first order shear deformation theory by using the minimum potential energy principle. The nonlinear differential equations are solved using the harmonic differential quadrature method (HDQM). The modified Halpin-Tsai micromechanics model is implemented to determine the effective Young's modulus of GPLRC beam. Moreover, the rule of mixture is used to define the effective Poisson's ratio. To ensure the applicability of the method, comparison studies are performed for conventional FG nanocomposite beams and beams reinforced by graphene platelets. Then, the effects of the boundary conditions, the number of layers, the weight fraction and the distribution pattern of GPL on the nonlinear bending characteristics of the GPLRC beams are investigated.

2. Formulation and governing equations

Figure 1 shows a beam that consists of n -layer GPL-polymer nanocomposites with total thickness h and length L . Each layer contains the polymer matrix reinforced by GPLs and has a constant thickness $h_1 = h/n$ and a distinct GPL weight fraction ($Wg\%$). Through the thickness of the beam, the distribution of the layers may be uniform (UD) or functionally graded (FG). The GPL patterns considered in this study are shown in Figure 1. In the X-GPLRC type, the upper and the lower face of the beam has the highest $Wg\%$ while the $Wg\%$ decreases linearly toward the mid plane. Moreover, the GPL weight fraction in the O-GPLRC beam increases linearly from the outer faces toward the mid plane. It means that the maximum value of $Wg\%$ is observed at the mid plane and the minimum ones are seen in the upper and lower faces.

Nonlinear governing differential equations are derived based on the first order shear deformation theory by using the minimum potential energy principle. The modified Halpin-Tsai micromechanics model is implemented to determine the effective Young's modulus of GPLRC beam. Moreover, the rule of mixture is used to define the effective Poisson's ratio. By using the HDQM for discretizing the system of equations, the following assembled nonlinear equations are obtained:

¹ Corresponding Author: Assistant Professor of Mechanical Engineering, Faculty of Engineering, Kharazmi University, Tehran, Iran. Email: hshokrollahi@khu.ac.ir

² MSc. of Mechanical Engineering, Department of Engineering, Kharazmi University, Tehran, Iran.

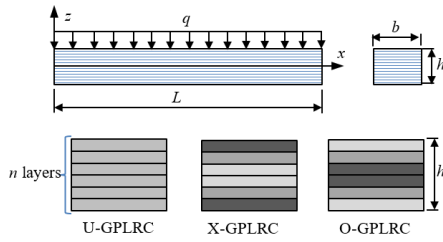


Figure 1. Schematic configuration of GPLRC beam with three different GPL distribution patterns

$$[K_L] \begin{Bmatrix} \{u\}_N \\ \{\phi\}_N \\ \{w\}_N \end{Bmatrix} + [K_{NL}] \begin{Bmatrix} \{\{u\}\{w\}\}_N^2 \\ \{\{\phi\}\{w\}\}_N^2 \\ \{\{w\}\{w\}\}_N^2 \\ \{\{w\}\{w\}\{w\}\}_N^3 \end{Bmatrix} = \begin{Bmatrix} \{0\}_{2N+1} \\ \{q\}_{N-2} \\ \{0\}_1 \end{Bmatrix} \quad (1)$$

in which K_L and K_{NL} are linear and nonlinear stiffness matrices, which have $3N \times 3N$ and $3N \times (3N^2 + N^3)$ dimensions, respectively. To solve the nonlinear equations, an iterative scheme based on Newton-Raphson method is adapted. Using MATLAB program and according to the presented formulations, a computer program is written by which the displacements and stresses of the beam are obtained. It is worth noting that the linear response of the beam can be obtained by setting $[K_{NL}] = [0]$.

3. Results and discussion

In this section, the results for verification of the proposed method are presented. To investigate the convergence of the proposed solution method, several cases with the different number of grid points were examined. This convergence study discovered that choosing 31 grid points along x direction will yield a sure answer in all problems in question. Therefore, in all up-coming case studies, 31 grid points along x direction were used. The nonlinear bending results are depicted in Figure 2. In this figure, the present results for deflection of clamped FGM beams are compared with those of other researches. The Young's modulus of the FG material is supposed to be graded in thickness

$$\text{direction } E(z) = (E_1 - E_2) \left(\frac{z}{h} + \frac{1}{2} \right)^p + E_2$$

in which p is the functionally graded index of the material properties. The beam material and geometrical properties are $E_1 = 30 \times 10^6$ psi, $E_2 = 10 \times 10^6$ psi, $\nu = 0.4$, $b/h = 1$, $b = 1$ in, and $L/h = 100$. As can be seen in Figure 2, the present results (HDQM) match very well with the previous ones. As another case study for the examination of the proposed method, the work done by Feng et al is considered. In this case, the polymer matrix is assumed to be epoxy with $E_m = 2.85$ GPa and $\rho_m = 1200$ kg/m³. The beam is comprised of 10 layers having the thickness of $h = 0.1$ m and $L/h = 20$. The dimensions, Young's modulus and mass density of GPLs are $a_g = 2.5$ μ m, $b_g = 1.5$ μ m, $t_g = 1.5$ nm, $E_g = 1010$ GPa, and $\rho_g = 1060$ kg/m³, respectively. The

maximum deflections of the GPL-Epoxy beam with different boundary conditions and GPL weight fraction ($W_g\%$) are presented in Table 1 for the dimensionless uniform load of $Q = 0.001$. As shown in Table 1, the present results match well with the previous ones reported in Feng et al.

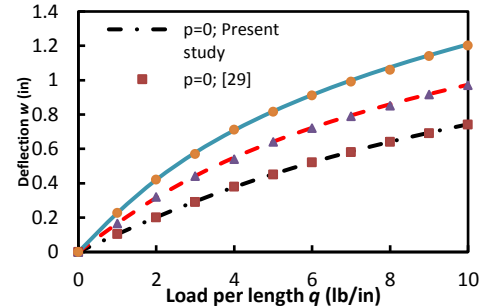


Figure 2. Load versus center transverse deflection for clamped-clamped, and functionally graded beams

Table 1. Maximum dimensionless deflection of GPL/Epoxy nanocomposite beams

	$W_g\%$	U-GPLRC		X-GPLRC	
		Present	Ref	Present	Ref
C-C	0.5	0.004441	0.004745	0.003430	0.003680
	1	0.002718	0.002902	0.001997	0.002144
	1.5	0.001958	0.002090	0.001408	0.001513
S-S	0.5	0.021821	0.022988	0.016742	0.017659
	1	0.013344	0.014058	0.009730	0.010269
	1.5	0.009610	0.010124	0.006856	0.007239
C-S	0.5	0.009116	0.009697	0.007012	0.007481
	1	0.005575	0.005712	0.004078	0.004197
	1.5	0.004015	0.004114	0.002874	0.002960

4. Conclusion

The nonlinear bending analysis of a composite beam reinforced by graphene platelets (GPL) having functionally graded (FG) distribution through the thickness was presented. Moreover, the rule of mixture was used to define the effective Poisson's ratio. At first, comparison studies were presented for conventional FG nanocomposite beams and beams reinforced by graphene platelets. Then the effects of boundary conditions, weight fraction and distribution pattern of GPL, and the total number of layers, on the nonlinear bending characteristics of the GPLRC beams were investigated. The results showed the capability of the proposed method to solve the nonlinear problems and obtaining the bending behavior of the beams. Moreover, by increasing the weight fraction of graphene platelets in the beam, the bending strength of the beam improves and the beam deflection decreases. Moreover, increasing the total number of layers for GPLRC tends to smoother variation of stress through the beam thickness. As can be concluded from the literature, there are few experimental data for the GPLRC beams. It is suggested to conduct a systematic set of experiments for futurer studies in this matter.